

# تعیین ضریب شکل بهینه‌ی دیسک نیم‌دایره با لبه‌ی ترک‌خورده تحت بار فشاری (ECSD) یکنواخت

ابراهیم خلیل‌زاده وحیدی\*

علی پرمنون (دانشجوی دکتری)

رؤبا دئیسی (دانشجوی کارشناسی ارشد)

دانشکده‌ی فنی و مهندسی عمران، دانشگاه رازی، کرمانشاه

مهمشی عمارت شرف، (ایرانستان ۱۳۹۸) دوری ۲ - ۵، شماره ۲ / ۱۰، ص. ۱۶۵-۱۷۰، (پادشاهی ق)

در بررسی حاضر با استفاده از دیسک نیم‌دایره‌ی با لبه‌ی ترک‌خورده (ECSD) به ارزیابی سریع چقرمگی مواد شکننده توسط بار فشاری یکنواخت پرداخته شده است. با محاسبه‌ی ضریب شدت تنش (SIF)، ضریب شکل بهینه تحت بار فشاری یکنواخت ارائه شده است. در مطالعه‌ی حاضر، ابتدا روش عددی با نتایج آزمایشگاهی اعتبارسنجی و مدل سازی عددی با دقت قابل قبولی کالیبره شد، سپس نمونه‌های عددی با پخش در محل بارگذاری و تکیه‌گاه، تحت زاویه‌ی  $\beta$  از  $0^\circ$  تا  $10^\circ$  درجه، با نمو ۱ درجه و طول ترک (a) از ۱ میلی‌متر تا ۲۹ میلی‌متر با نمو ۱ میلی‌متر بررسی شدند. با بررسی نتایج بدست آمده، ضریب شکل بهینه‌ی  $1/325$  تحت بار فشاری یکنواخت و طول پخش متناظر با زاویه‌ی  $2^\circ$  درجه نسبت به مرکز برای دیسک نیم‌دایره‌ی ترک‌دار ارائه شد.

e\_vahidi2000@yahoo.com  
permanoon.ali@gmail.com  
raeisiroya@yahoo.com

واژگان کلیدی: دیسک نیم‌دایره‌ی ترک‌دار، مواد فتوکشسان، ضریب شدت تنش، ضریب شکل، اجزاء محدود.

## ۱. مقدمه

معمولًا برای بدست آوردن چقرمگی سیاری از نمونه‌های آزمایشگاهی، از چقرمگی کرنش صفحه‌ی استفاده می‌شود که بسیاری از آن‌ها نیاز به وسائل مخصوصی برای بارگذاری خمشی و کششی دارند. اما در پژوهش حاضر با استفاده از آزمایش فشاری ضریب شکل محاسبه شده و با استفاده از ضریب شکل، ضریب شدت تنش بدست آمده است. ضریب شکل F از نقطه‌نظر طراحی و گسترش فهم تصوری برای گسترش ترک تحت بارهای خستگی و یا ضربه بسیار مهم است. هر چند تعداد بسیار زیادی مطالعه در زمینه‌ی شکست مصالح به‌وسیله‌ی دیسک ترک‌خورده منتشر شده است، اما تقریباً هیچ روشی برای ارائه‌ی بهینه‌سازی ضریب شکل F ارائه نشده است. لذا جنبه‌ی ذکر شده، یکی از انگیزه‌های اصلی نوشتار حاضر برای بدست آوردن ضریب شدت تنش (SIF)<sup>۱</sup> برای مدل دیسک نیم‌دایره تحت بار فشاری یکنواخت و محاسبه‌ی ضریب شکل بهینه است.

در پژوهشی در سال ۲۰۰۶ نمونه‌های دیسک برزیلی تحت بارگذاری ضربه‌ی بیان بررسی و تأثیر آن در چقرمگی دینامیکی مواد ارزیابی شد. همچنین در سال ۲۰۱۲، مرور کاملی بر روش‌های آزمون چقرمگی و طراحی نمونه‌ها، خصوصیات هندسی، استانداردسازی و خصوصیات مواد مورد آزمون انجام شد.<sup>۲</sup> برخی پژوهشگران

\* نویسنده مسئول  
تاریخ: دریافت ۱۱/۴/۱۳۹۶، اصلاحیه ۱۱/۴/۱۳۹۶، پذیرش ۱۱/۷/۱۳۹۶.

DOI:10.24200/J30.2018.2173.2125

يانگ ( $E = 3000 \text{ MPa}$ )، نسبت پواسون  $\nu = 0.33$  و ثابت  $f_\sigma = 11772 \text{ Pa m/fringe}$  هستند. برای ایجاد ترک در هنگام ریخته‌گری رزین اپوکسی، از یک فیلم نازک پلیمری در محل استفاده شده است.<sup>[۱۲]</sup> که ممکن است باعث انحنای بسیار کوچک نوک ترک شود. اما انحنای مذکور، تأثیرکمی در محاسبات ضریب شدت تنش دارد و با تقریب بسیار عالی و بدون خطای قابل ملاحظه می‌توان  $K_I$  را محاسبه کرد. در نمونه‌ی آزمایشگاهی، ضخامت نمونه‌ها ۶ میلی‌متر، شعاع دیسک ۳۰ میلی‌متر و باروارده به تمامی نمونه‌ها ثابت و برابر ۳۹۵ کیلونیوتون بوده است.

### ۳. رفتار مکانیکی دیسک نیم‌دایره تحت بار فشاری

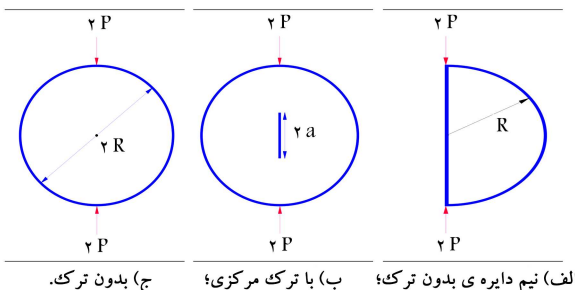
برای درک رفتار مکانیکی دیسک نیم‌دایره، یک دیسک دایره‌ی ترک‌نخورده، یک دیسک ترک‌خورده بزرگ‌یابی با طول ترک  $2a$  و یک دیسک نیم‌دایره‌ی ترک‌نخورده را در نظر بگیرید. تمامی نمونه‌های مذکور مانند شکل ۲، تحت بار فشاری در راستای قطر قرار می‌گیرند. دیسک دایره‌ی را می‌توان دیسک بزرگ‌یابی با ترکی برابر  $2a = 2a$  در نظر گرفت. از طرف دیگر، دیسک نیم‌دایره بدون ترک را می‌توان دیسک بزرگ‌یابی با ترکی به طول  $2a = 2R$  در نظر گرفت. مطابق شکل ۳، با اعمال بار فشاری به نمونه‌های فتوکشسان، خطوط تراز تنش در نمونه‌ها ایجاد می‌شود که هر یک از آن‌ها بیانگر ترکیبی از تنش‌های اصلی هستند و هر خط تراز تنش طبق قوانین حاکم بر مقاومت مصالح از رابطه‌ی ۱ پیروی می‌کنند:

$$\sigma_1 - \sigma_2 = 2\tau_{\max} \quad (1)$$

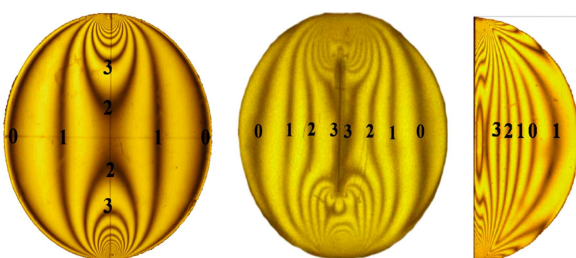
در مواد فتوکشسان با توجه به شماره‌ی هر خط تراز تنش و مشخصات مصالح، تنش به صورت رابطه‌ی ۲ برقرار است:<sup>[۱۷]</sup>

$$\sigma_1 - \sigma_2 = \frac{N f_\sigma}{h} \quad (2)$$

که در آن،  $N$  شماره‌ی هر خط تراز،  $h$  ضخامت نمونه‌ها و  $f_\sigma$  ثابت ماده‌ی فتوکشسان است. خط تراز تنش مرتبه‌ی صفر، با توجه به رابطه‌ی ۳ مکان هندسی خطی است



شکل ۲. دیسک بزرگ‌یابی.



شکل ۳. الگوی خطوط تراز تنش نمونه‌های دیسک بزرگ‌یابی تحت بار ۳۹۵ نیوتون.<sup>[۱۳]</sup>

تشهلهای بیشینه در طول ترک بحرانی از دیسک بزرگ‌یابی با حاشیه‌ی پایدار را برای انتشار ترک نایابار ارائه کردند. علاوه بر مطالعات ذکر شده، دیسک بزرگ‌یابی نیم‌دایره تحت بارهای خستگی نیز در سال ۲۰۰۱ مطالعه شده است.<sup>[۱۲]</sup>

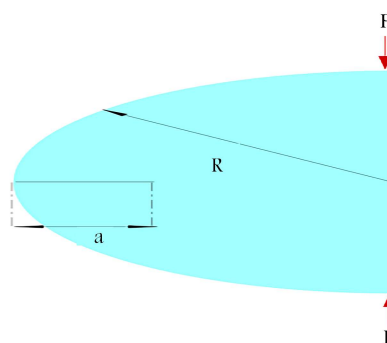
همچنین در سال ۲۰۱۳<sup>[۱۴]</sup> روش سریع برای تعیین چقرمگی مواد ترد تحت بار فشاری و بهینه‌ترین ضریب شکل ارائه شده است. در مطالعاتی در سال ۲۰۱۷<sup>[۱۵]</sup> نیز به بررسی روش جدیدی برای اندازه‌گیری چقرمگی شکست و همچنین تجزیه و تحلیل چگونگی شکست میلگردهای آسیب‌دیده با ترک‌های سطحی پرداخته شده است. برخی دیگر از پژوهشگران،<sup>[۱۶]</sup> نیز برای به دست آوردن درک درستی از چگونگی رفتار شکست تکیه‌گاه غلتکی ترک‌خورده پل‌ها، به شیوه‌سازی عددی دو بعدی به صورت یک دیسک دایره‌ی ترک‌خورده تحت بار یکنواخت فشاری با استفاده از روش اجزاء محدود پرداخته‌اند. همچنین در سال ۲۰۱۷<sup>[۱۶]</sup> مطالعاتی در مورد تأثیر سرعت سرد شدن و نیز محیط پردازش فاز ذوب شده در مقدار چقرمگی شکست فاز شیشه‌ی<sup>۲</sup> انجام شده است.

با وجود تجریبه‌ی گسترده در طراحی نمونه‌ها و تعیین چقرمگی آن‌ها با استفاده از کشش، خمش و یا بار فشاری، همیشه نیاز به طرح‌های جدیدتر با توجه به امکانات مختلف وجود دارد. در پژوهش حاضر، به وسیله‌ی یک دیسک نیم‌دایره‌ی ترک‌دار (شکل ۱) مشاهده شده است که می‌توان ضریب شدت تنش مود اول نمونه‌ها را تحت بار فشاری تعیین کرد. نمونه‌های دیسک فشاری به طور گسترده می‌توانند در تعیین ضرایب شدت تنش مواد ترد، مانند: سنگ، سرامیک و شیشه استفاده شوند. ضریب شدت تنش تقریباً در همه نمونه‌ها به وسیله‌ی عبارت کلی  $F\sigma\sqrt{\pi/a}$  بیان می‌شود، که در آن  $F$  یک ضریب شکل بدن بعد وابسته به نسبت طول ترک به بعد جسم،  $\sigma$  تنش اطراف نوک ترک و  $a$  طول ترک است.

در پژوهش حاضر، ابتدا با اعتبار سنجی نرم‌افزار اجراء محدود ANSYS با تابع آزمایشگاهی از درستی نتایج اطمینان حاصل شده و سپس ضریب شکل دیسک نیم‌دایره‌ی ترک‌دار تحت بار فشاری یکنواخت به دست آمده است. ضریب شکل بهینه با درنظر گرفتن طول‌های مختلف ترک و طول پیچ محل تکیه‌گاه و بار متناظر با زاویه‌ی  $\beta$  متفاوت محاسبه شده است. در بررسی مذکور، نمونه‌های مورد مطالعه به صورت سه بعدی مدل شده‌اند تا تمامی اندرکنش تنش‌ها در هر سه راستا در نظر گرفته شود. در شکل ۱، نمای کلی مدل تحت بار فشاری نقطه‌ی سوزن‌دار،<sup>[۱۳]</sup> مشاهده می‌شود.

### ۲. مشخصات مکانیکی و هندسی نمونه‌ها

نمونه‌های آزمایشگاهی سورندر،<sup>[۱۳]</sup> از جنس رزین اپوکسی پرسیکس ۳، با مدول



شکل ۱. نمای کلی از مدل آزمایشگاهی سورندر تحت بار نقطه‌ی.

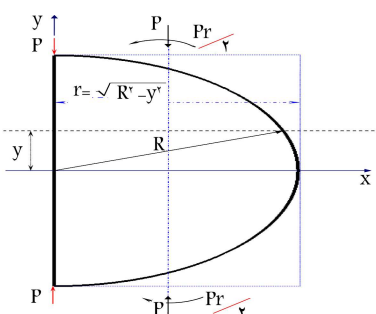
محل تلاقي دو تنش ذکر شده در  $16/9$  میلی متر از لبه قائم رخ می دهد. از این رو با توجه به رابطه  $3$ ، مکان هندسی خطوط تنش مرتبه  $i$  صفر از نقطه  $P$  می گذرد. خط تراز تنش مرتبه  $i$  صفر در آزمایشگاه در حوالی  $17/1$  میلی متر از لبه قائم شکل گرفته است. اختلاف بین نتایج عددی و آزمایشگاهی ممکن است ناشی از توزع بارگذاری نقطه ای در نرم افزار باشد. زیرا در آزمایشگاه با فشار جک بر نمونه، محل بار و تکیه گاه فشرده می شود و بارگذاری از الگوی هرتزین پروری می کند. در ادامه، برای اطمینان از محل نقطه  $P$  در آزمایشگاه و مدل عددی، مطابق شکل  $5$ ، نمونه دیسک نیم دایره بدون ترک مانند یک تیر مستطیلی با ضخامت ثابت و ارتفاع متغیر  $r = \sqrt{R^2 - y^2}$  برسی و تحت بار فشاری تحلیل شده است. بار واردۀ به لبه قائم را می توان با انتقال بار و لنگر معادل  $\frac{Pr}{r}$  جایگزین کرد، بار  $P$  باعث فشار یکنواخت و لنگر  $\frac{h}{r}$  در محل می شود، از این رو طبق قوانین حاکم بر مقاومت مصالح، مقدار تنش قائم از طریق رابطه  $4$  به دست می آید:

$$\sigma_y = \sigma_y^c + \sigma_y^b = -\frac{P}{rh} + \frac{6P(x - \frac{r}{2})}{hr^2} = (\frac{6(x - \frac{r}{2})}{r} - 1)(\frac{P}{hr}) \quad (4)$$

مکان هندسی خطوط تنش مرتبه  $i$  صفر با مساوی قراردادن  $= \sigma_y$  به دست می آید که در محل مذکور هیچ گونه تنش برشی وجود ندارد و مقدار تنش نرمال  $\sigma_x$  طبق حل تئوری صفر است؛ بنابراین، مکان هندسی خطوط تنش تراز مرتبه  $i$  صفر از رابطه  $5$  به دست می آید:

$$\begin{aligned} & (\frac{6(x - \frac{r}{2})}{r} - 1) = 0 \\ & \Rightarrow \frac{3}{2}x = r = \sqrt{R^2 - y^2} \\ & (\frac{x}{2R/3})^2 + (\frac{y}{R})^2 = 1 \end{aligned} \quad (5)$$

مکان خط تراز تنش صفر از حل تحلیلی به صورت معادله بیضی به دست می آید که قطر کوچک بیضی بر محور  $X$  منطبق است و قطر کوچکی به ابعاد  $2R/3 = 20 mm$  دارد که محل نقطه  $P$  با توجه به حل تحلیلی است. نتایج آزمایشگاهی در شکل  $3$  و نتایج عددی در شکل  $4$ ، نیز مکان هندسی مذکور را به خوبی برای خط تراز تنش صفر ( $\sigma_y = 0$ ) نشان می دهند. اختلاف بین تحلیل عددی و حل تحلیلی به دلیل درنظر گرفتن نوع بارگذاری در حل تحلیلی است. در حل تحلیلی، بار به صورت نقطه ای و در حل عددی، بار به صورت توزیع هرتزین در نظر گرفته می شود که بارگذاری مذکور در حل عددی، تطابق بیشتری با بار واردۀ در آزمایشگاه دارد.



شکل ۵. تحلیل نمونه دیسک نیم دایره بدون ترک توسط مفهوم تیر مستطیلی. [۱۳]

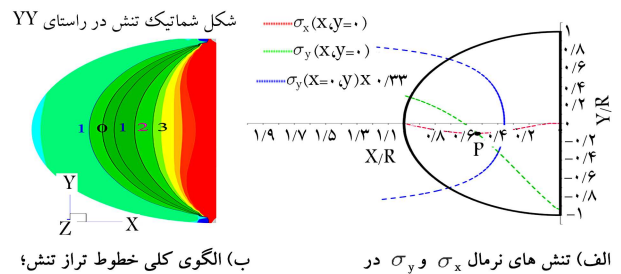
که تنش برشی صفر است و این خط مرز بین قسمت فشاری و کششی در نمونه است.

$$2\tau_{\max} = \frac{Nf_\sigma}{t} \quad (3)$$

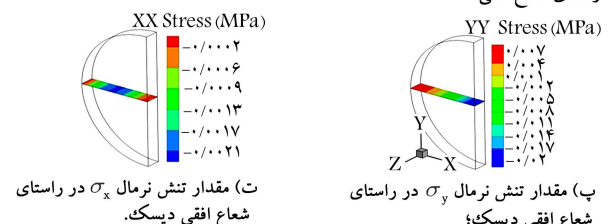
$$N = \begin{cases} \tau = 0 \\ \sigma_1 = \sigma_2 \end{cases} \Rightarrow$$

در شکل  $3$  ب، الگوی خطوط تراز تنش تحت بار فشاری در دیسک دایره ای ترک نخورده مشاهده می شود که در آن خطوط تنش مرتبه  $i$  صفر (ZOF) در حاشیه دیسک قرار دارد و نشان می دهد که تمام دیسک تقريباً تحت بار فشار است. در حالی که در دیسک بزرگی در شکل  $3$  ب، الگوی خطوط تنش مرتبه  $i$  صفر بین ترک مرکزی و حاشیه دیسک قرار گرفته است که نشان دهنده یک منطقه کششی کوچک در حاشیه دیسک است. درنهایت، در دیسک نیم دایره ترک نخورده (شکل  $3$  الف)، الگوی خطوط تنش مرتبه  $i$  صفر بین لبه های داخلی و بیرونی است که تقريباً  $\frac{1}{3}$  منطقه نزدیک به لبه بیرونی تحت کشش است. بنابراین می توان اطمینان حاصل کرد که با ایجاد ترکی کوچک روی کمان خارجی دیسک، نوک ترک تحت کشش و گسترش ترک نیز تحت مود اول است. برای اعتبار صحبت سنجه مدل عددی با نتایج آزمایشگاهی، دیسک ترک نخورده نیم دایره تحت بار فشاری نقطه بی در نرم افزار ANSYS مدل شد و سپس مدل مذکور به صورت سه بعدی با المان های ۲۰ گرهی solid186 که هر گرهی آن  $3$  درجه آزادی انتقالی داشت، تحلیل شد. با تحلیل تنش در راستای شعاع افقی می توان محل خط تراز تنش صفر و مرز ناحیه فشاری و کششی را پیدا کرد تا در ادامه بتوان طول ترک را انتخاب کرد و اطمینان حاصل شود که در ناحیه کششی است. از این رو دیسک نیم دایره بدون ترک تحت بار فشاری واحد (نیوتون) قرار داده شد (شکل  $4$ ) و با محاسبه تنش های نرمال  $\sigma_x$  و  $\sigma_y$  در راستای شعاع افقی و پیدا کردن محل تلاقي دو تنش نرمال می توان نقطه عبور خط تراز تنش صفر را به دست آورد. با توجه به توزیع تنش  $\sigma_y$  در طول شعاع افقی مشخص است که تنش  $\sigma_y$  به صورت فشاری با آهنگ کاوشی عمل می کند و تقريباً در  $18/5$  میلی متر از لبه قائم به قائم به مقدار صفر می رسد، و از این طول تا انتهای دیسک نیم دایره بی به صورت کششی با آهنگ افزایشی عمل می کند.

همچنین با مشاهده الگوی تنش  $\sigma_x$  بر روی شعاع افقی مشخص می شود که



الف) تنش های نرمال  $\sigma_x$  و  $\sigma_y$  در راستای شعاع افقی؛  
ب) الگوی کلی خطوط تراز تنش؛



ت) مقدار تنش نرمال  $\sigma_x$  در راستای شعاع افقی دیسک؛  
پ) مقدار تنش نرمال  $\sigma_y$  در راستای شعاع افقی دیسک؛

شکل ۴. دیسک ترک نخورده نیم دایره تحت بار فشاری نقطه بی.

باشد، لذا سعی شده است تا حد امکان در مسئله‌ی مذکور دقت به عمل آید. از این رو بار فشاری به صورت توزیع هرتسین مطابق شکل ۸ به گره‌های بالای مدل وارد شده است. بار هر گره توسط روابط ۶ و به صورت کاوهشی از لبه‌ی قائم به سمت داخل محاسبه شده است.

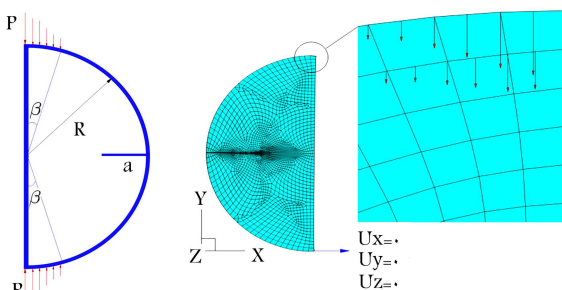
$$V(\theta) = V\left(\frac{\pi}{2}\right) \sqrt{1 - \frac{(\frac{\pi}{2} - \theta)^2}{\beta^2}} \quad \text{for } (\frac{\pi}{2} - \beta) \leq \theta \leq \frac{\pi}{2}$$

$$V\left(\frac{\pi}{2}\right) = \frac{4P}{\pi R \beta}$$

$$\text{Then } V(\theta) = V\left(\frac{4P}{\pi R \beta}\right) \sqrt{1 - \frac{(\frac{\pi}{2} - \theta)^2}{\beta^2}} \quad (6)$$

با توجه به اینکه در آزمایشگاه، بار وارد تقریباً  $\alpha = 40^\circ$  بر دیسک وارد شده است، لذا در مدل عددی نیز تا زاویه‌ی  $\beta = 40^\circ$  توزیع هرتسین محاسبه و بار هر گره بر نمونه اعمال شده است. مقادیر بار فشاری در تمامی نمونه‌ها ۳۹۵ نیوتون است. همچنین با توجه به هزینه محاسبات و دقت مدل‌سازی نمونه‌ها به صورت دو بعدی نیز مدل شده است تا بتوان با مدل سه بعدی مقایسه و با توجه به دقت مورد نظر یکی از روش‌های دو بعدی یا سه بعدی انتخاب شود. در جدول ۲، مقادیر ضریب شدت تنش مود اول هر دو نمونه‌ی عددی دو و سه بعدی و مدل آزمایشگاهی مقایسه شده است. با مقایسه نتایج ضریب شدت مود اول در هر یک از دو مدل عددی با مدل آزمایشگاهی می‌توان دریافت که در مدل سه بعدی، دقت نتایج نسبت به مدل دو بعدی بسیار بیشتر است زیرا در مدل سه بعدی، رفتار مکانیکی نمونه با درنظر گرفتن هر سه تنش اصلی تحلیل می‌شود، اما در مدل دو بعدی با فرض تنش مسطح و یا کرنش مسطح، از تنش و یا کرنش خاصی صرف نظر شده است و فرض ذکر شده دقت مدل‌سازی را کاهش می‌دهد.

همچنین در بخش حاضر برای اطمینان از جواب‌های به دست آمده‌ی مدل عددی، حساسیت مدل نسبت به اندازه‌ی مشبندی نیز بررسی شد. لذا برای حساسیت سنجی مدل مذکور، ابعاد مشبندی مدل سه بعدی به غیر از نوک ترک، از  $1/\sqrt{3}$  میلی‌متر تا  $3/\sqrt{3}$  میلی‌متر تغییر داده شد، اما مشبندی المان‌های ردیف اول و دوم



الف) بار گره بی در مدل عددی؛  
ب) شکل کلی توزیع هرتسین.  
شکل ۷. نحوه بارگذاری هرتسین.

جدول ۲. مقایسه نتایج ضریب شدت تنش در دو مدل عددی و آزمایشگاهی.

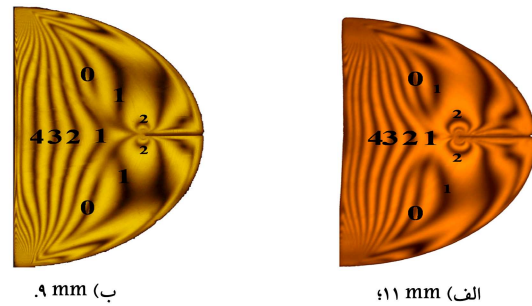
طول ترک	مدل عددی	مدل آزمایشگاهی	درصد خطای نسبی
۹,۹۱	دو بعدی	۱۵,۸۴۶	
۱,۱۸	سه بعدی	۱۷,۵۹۱	۹ میلی‌متر
۸,۷۷	دو بعدی	۱۷,۳۲۸	
۰,۳۵	سه بعدی	۱۹,۶۱۵	۱۱ میلی‌متر
		۱۷,۸۹۴	
		۱۹,۵۴۶	

#### ۴. مدل‌سازی اجزاء محدود و صحبت‌سنگی

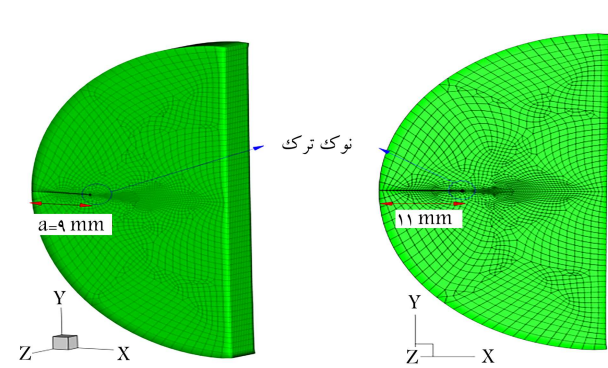
دو نمونه دیسک نیم‌دایره‌ی ترک دار (ECSD)<sup>۵</sup> توسط سورندر،<sup>[۱۳]</sup> در آزمایشگاه با شعاع ۳۰ میلی‌متر و ضخامت ۶ میلی‌متر و ترک‌هایی به طول ۹ و ۱۱ میلی‌متر ساخته شدند. الگوی خطوط تراز تنش در دیسک ترک دار در شکل ۶ مشاهده می‌شود. کاملاً مشخص است که نوک ترک در محدوده‌ی خطوط تراز تنش کششی واقع و در حال باز شدن است، لذا مود اول شکست بر دیسک حاکم است. براساس حل تئوری فقط مقدار  $K_I$  موجود است، اما در آزمایشگاه برای مود دوم نیز مقداری بسیار کوچک ثبت شده است، در جدول ۱، نتایج آزمایشگاهی ضرایب شدت تنش ارائه شده است.

از این رو برای صحبت‌سنگی مدل‌سازی عددی، نمونه‌ها با المان‌های ۲۰ گره‌یی ۳ بعدی solid با ۳ درجه آزادی انتقالی در هر گره استفاده شده است. المان مذکور قابلیت حل سینکوولاژنی نوک ترک را دارد و در شکل ۷، نحوه مشبندی مدل‌های مشاهده می‌شود.

بار وارد در قسمت بالایی مدل به صورت هرتسین وارد می‌شود. همچنین با توجه به اینکه باید تقارن مدل حفظ شود، گره‌های مقابل نیروی اعمالی در راستای قائم مقید شده‌اند تا سیستم تقارن نمونه حفظ شود و نیز برای پایداری حل اجراء محدود، یک گره در محل تکیه‌گاه در جهت‌های  $X$  و  $Z$  مقید شده است. با توجه به اینکه بارگذاری صحیح در مدل‌های عددی می‌تواند در صحبت نتایج خیلی تأثیرگذار



شکل ۶. الگوی خطوط تراز تنش در نمونه‌ها.<sup>[۱۳]</sup>



شکل ۷. شکل کلی نمونه‌های عددی و نحوه مشبندی.

جدول ۱. مقادیر ضریب شدت تنش محاسبه شده در آزمایشگاه برای ۲ ترک با طول متفاوت.<sup>[۱۳]</sup>

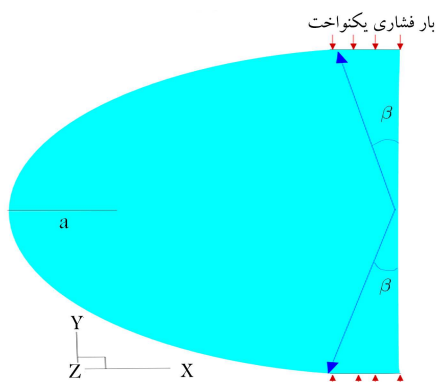
$K_{II}(MPa\sqrt{mm})$	$K_I(MPa\sqrt{mm})$	طول ترک (میلی‌متر)
۰,۹۸۰۳	۱۷,۵۹۱	۹
۰,۶۳۸۷	۱۹,۶۱۵	۱۱

## ۵. نتایج

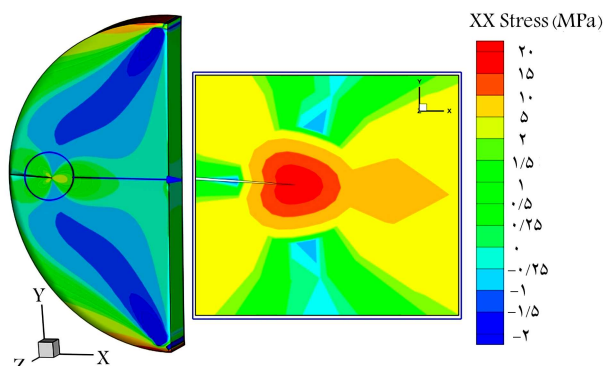
با توجه به اینکه به دست آوردن ضریب شدت تنش مود اول همواره حائز اهمیت بوده است، لذا پژوهشگران همیشه سعی داشته‌اند تا آزمایش‌هایی برای به دست آوردن سریع چقمرنگی مواد ارائه دهند. آزمایش‌های به دست آوردن ضریب شدت تنش معمولاً تحت بار کششی و خمی هستند و تجهیزات خاص آزمایشگاهی موردنیاز است، اما سورندر،<sup>[۱۲]</sup> با ارائه‌ی دیسک نیم‌دایره‌ی ترک‌دار تحت بار فشاری، روشی ساده و سریع برای ارزیابی چقمرنگی مود اول ارائه داد. در پژوهش حاضر، با توجه به اینکه قرار دادن یک دیسک نیم‌دایره زیر جک فشاری از لحاظ ایستایی مشکل است و همچنین در محاسبات تحلیلی، باید از توزیع بار هرتزین استفاده کرد که ممکن است روند تحلیل را با مشکل رو برو کند؛ لذا با پن کردن محل بار و تکیه‌گاه، نمونه زیر جک ایستا و بار به صورت فشاری و یکنواخت بر دیسک وارد و مشکل الگوی توزیع بار هرتزین برطرف شد. در شکل ۱۱، نمایی از مدل پیشنهادی تحت بار فشاری یکنواخت مشاهده می‌شود.

### ۵.۱. بررسی دیسک نیم‌دایره‌ی ترک‌دار با ضخامت ثابت

از این رو در ادامه، با تغییر زاویه‌ی  $\beta$  از  $0^\circ$  تا  $10^\circ$  با نمود  $a = 1\text{ mm}$  و طول ترک (a) از  $1\text{ mm}$  تا  $29\text{ mm}$  با نمود  $1\text{ mm}$  و با ضخامت ثابت  $0.6\text{ mm}$ ، به بررسی ضریب شدت تنش مود اول دیسک نیم‌دایره‌ی ترک‌دار تحت بار فشاری یکنواخت پرداخته شده است (روابط ۷). برای نمونه در شکل ۱۲، تنش در راستای X نوک ترک در نمونه‌ی  $\beta = 2^\circ$  و طول ترک  $a = 8\text{ mm}$  می‌باشد. مقدار به دست آمده از



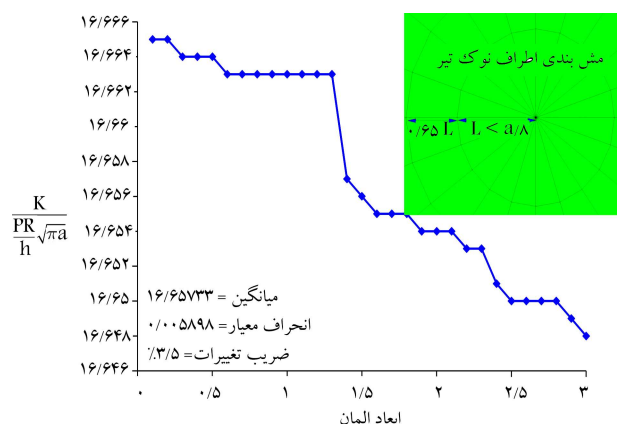
شکل ۱۱. نمای کلی از نمونه‌ی پیشنهادی تحت بار فشاری یکنواخت.



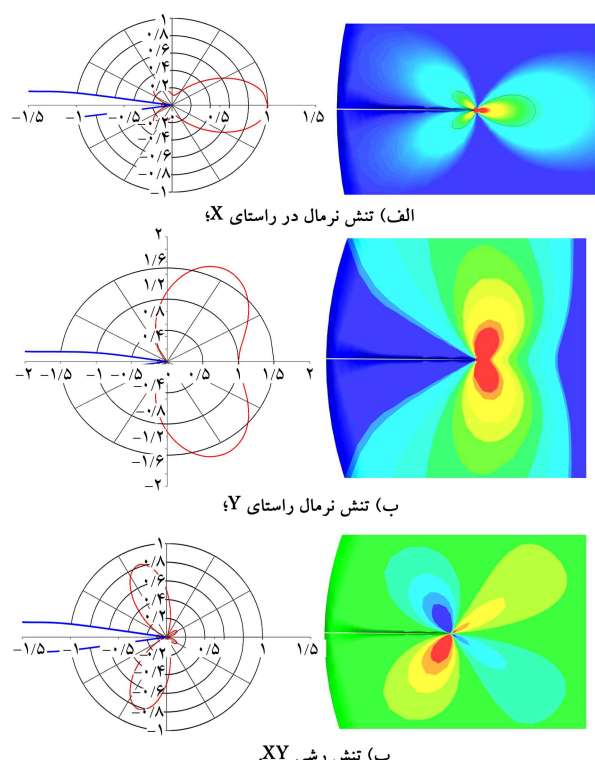
شکل ۱۲. تنش نرمال در راستای نوک ترک.

اطراف نوک ترک ثابت و با توجه به راهنمای نرم‌افزار و توصیه‌ی پژوهشگران، به ترتیب طولی کوچک‌تر از  $a/8$  و  $6\text{ mm}$  طول المان‌های ردیف اول را دارند. در شکل ۹ کاملاً مشخص است که ضریب شدت تنش نرمال شده تقریباً با ابعاد مشبتدی بین  $1/1$  میلی‌متر تا  $3$  میلی‌متر مستقل از ابعاد مشبتدی است، و در ادامه‌ی بررسی حاضر، ابعاد مشبتدی  $1/1$  میلی‌متر در نظر گرفته شده است.

با توجه به مقایسه کانتورهای تنش در شکل ۱۰ و مقایسه کانتور تنش نرمال و برشی برای نوک ترک و مقایسه با روابط تحلیلی ایروین،<sup>[۱۸]</sup> مشخص است که نوک ترک فقط تحت کشش بوده و مود اول شکست حاکم است، و از تقارن کانتورها می‌توان نتیجه گرفت که بارگذاری و تکیه‌گاه کاملاً درست و به صورت مقایر مدل شده است و هیچ‌کدام از مودهای دیگر وارد عمل نشده‌اند، به همین دلیل درصد خطای نسبی مدل عددی نسبت به آزمایشگاه بسیار کوچک است.



شکل ۹. حساسیت مدل نسبت به اندازه‌ی مشبتدی.



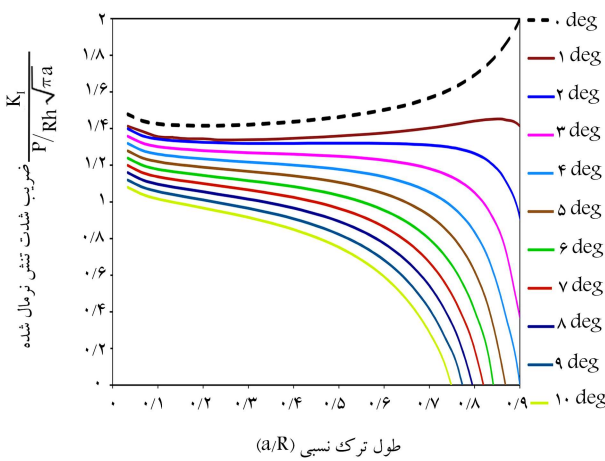
شکل ۱۰. مقایسه‌ی الگوی تنش نوک ترک در مدل عددی و روابط تحلیلی ایروین.

روش اجزاء محدود با روابط تحلیلی مطابقت دارد.

افزایش یافته و با توجه به رابطه  $F = \frac{K_I}{P/Rt\sqrt{\pi a}}$ , مقادیر ضریب شکل، به سمت عددی ثابت میل کرده است.

همان طور که در شکل ۱۴ مشخص است، در محدوده بین  $0^{\circ} \leq \beta \leq 0.67^{\circ}$  تقریباً خطوط مربوط به ضریب شدت تنش نرمال شده در مقابل طول ترک نسیی افقی تراست از این رو محدوده مذکور برای ارائه ضریب شکل ثابت انتخاب شد. سپس با محاسبه مقدار انحراف از معیار و درصد ضریب تغییرات ( $C_v$ ) در ضریب شکل ( $F$ ) برای تمامی زوایا در محدوده اخیر مشخص شد که نمونه تحت زاویه بارگذاری  $\beta = 2^{\circ}$  در محدوده  $0^{\circ} \leq \beta \leq 0.67^{\circ}$  می‌باشد. کمترین درصد ضریب تغییرات در ضریب شکل را دارد که این بدان معناست که در زاویه بارگذاری  $\beta = 2^{\circ}$ ، نمودار نسبت به سایر نمودارها افقی تراست و درصد خطای کمتری برای ارائه ضریب شکل ثابت دارد و می‌توان میانگین مقادیر ضریب شکل را با تقریب مناسبی ثابت به دست آورد.

از این رو با توجه به جدول ۳، ضریب  $1/325$  برای زاویه  $\beta = 2^{\circ}$ ، مناسب‌ترین ضریب شکل برای دیسک نیم‌دایره ترک‌دار تحت بار فشاری یکنواخت است. از این رو برای مطالعات بعدی ساخت دیسک نیم‌دایره ترک‌دار با برش و تربه اندازه‌ی



شکل ۱۴. مقادیر نرمال شده  $K_I$  در مقابل ترک نسبی  $a/R$ .

جدول ۳. مقادیر میانگین و انحراف از معیار ضریب شکل.

	میانگین	انحراف معیار	درصد ضریب تغییرات	$\beta$
۱,۵۸۴	$0^{\circ}, 0.27$	$1,441$	$0^{\circ}$	
۱,۰۲۱	$0^{\circ}, 0.14$	$1,353$	$1^{\circ}$	
۰,۸۴۱	$0^{\circ}, 0.11$	$1,325$	$2^{\circ}$	
۱,۸۶۱	$0^{\circ}, 0.24$	$1,267$	$3^{\circ}$	
۲,۱۷۲	$0^{\circ}, 0.38$	$1,21$	$4^{\circ}$	
۴,۶۵۲	$0^{\circ}, 0.54$	$1,152$	$5^{\circ}$	
۶,۳	$0^{\circ}, 0.69$	$1,095$	$6^{\circ}$	
۸,۱۲۸	$0^{\circ}, 0.84$	$1,038$	$7^{\circ}$	
۱۰,۱۷۵	$0^{\circ}, 0.1$	$0,981$	$8^{\circ}$	
۱۲,۴۷۵	$0^{\circ}, 115$	$0,924$	$9^{\circ}$	
۱۵,۰۷۱	$0^{\circ}, 131$	$0,867$	$10^{\circ}$	

$$\begin{cases} \sigma_{xx} \\ \sigma_{yy} \\ \tau_{xy} \end{cases} = \frac{K_I}{\sqrt{2\pi r}} \cos \frac{\theta}{2} \begin{cases} 1 - \sin \frac{\theta}{r} \sin \frac{\tau\theta}{r} \\ 1 + \sin \frac{\theta}{r} \sin \frac{\tau\theta}{r} \\ \sin \frac{\theta}{r} \cos \frac{\tau\theta}{r} \end{cases}$$

$$\theta = 0^{\circ}$$

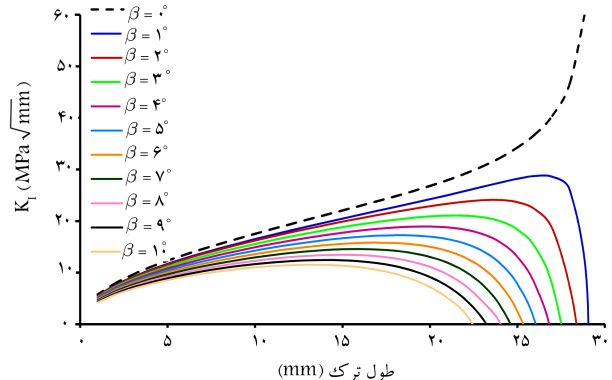
$$r = 0, 1 \text{ mm} \Rightarrow \sigma_{xx} = 18,321 \text{ (MPa)}$$

$$K_I = 14,523$$
(۷)

از شکل ۱۳ می‌توان بی برد که مقدار  $K_I$  با افزایش زاویه  $\beta$  کاهش می‌یابد، که دلیل آن کاهش منطقه کششی در لبه‌های دیسک نیم‌دایره است. همچنین با افزایش طول ترک، مقدار  $K_I$  ابتدا افزایش و سپس کاهش یافته است. این کاهش به دلیل نزدیک شدن نوک ترک به منطقه فشاری دیسک است که مانع از باز شدن نوک ترک می‌شود. گراف صفر درجه حالت حدی شکل مذکور است، زیرا در این حالت بار کاملاً به صورت نقطه‌ای وارد شده و مقدار  $K_I$  همواره در حال افزایش بوده است، از این رو هیچ گرافی نباید گراف بحرانی صفر را قطع کند. همچنین با توجه به شکل ۱۰ مشخص است زمانی که مقدار  $K_I$  برای یک زاویه خاص صفر می‌شود، طول ترک معادل آن ( $a^*$ )، بیشینه‌ی طول ترکی است که نوک ترک در کشش بوده و مقدار  $K_I$  ثابت است و از طول  $a^*$  به بعد، نوک ترک در فشار قرار می‌گیرد و بسته می‌شود. مطابق شکل ۱۳، با افزایش زاویه  $\beta$  طول ترک مورد بررسی برای محاسبه  $K_I$  در آزمایشگاه محدود می‌شود، و به این مسئله هنگام ساخت نمونه‌های آزمایشگاهی باید توجه شود.

مقدار  $K_I$  در طول ترکی بیش از طول ترک  $a^*$  منفی است، اگرچه مقدار  $K_I$  از لحاظ فیزیکی امکان‌پذیر نیست، اما بررسی تئوری آن می‌تواند جالب باشد. برای این منظور دیسک نیم‌دایره ترک‌دار در طولی بیشتری از  $a^*$  به جای بار فشاری یکنواخت تحت بار کششی یکنواخت با همان مقدار بار قرار داده شد و مقدار  $K_I$  تحت بار کششی همان مقدار  $K_I$  تحت بار فشاری با علامت ثابت به دست آمد. در شکل ۱۱، مقادیر  $K_I$  تحت بار فشاری در طول ترکی بیش از  $a^*$  مشاهده می‌شود.

برای به دست آوردن ضریب شکل ثابت دیسک ترک‌دار باید مقادیر ضریب شدت تنش و طول ترک، بدون بعد شوند. در شکل ۱۴، ضریب شدت تنش نرمال شده ( $\frac{K_I}{P/Rh\sqrt{\pi a}}$ ) در مقابل طول ترک نسبی ( $a/R$ ) رسم شده است که مطابق آن، الگوی گراف مذکور شیوه شکل ۱۳ است، با این تفاوت که قسمت‌های افقی آن



شکل ۱۳. مقادیر  $K_I$  در مقابل طول ترک.

## ۶. نتیجه‌گیری

دیسک نیم‌دایره‌ی ترک دار تحت بار فشاری، روشی مناسب برای اندازه‌گیری چقرمگی مواد ترد است. روش مذکور، چقرمگی مود اول مصالح ترد را تحت بار فشاری یکنواخت با دقت خوبی محاسبه می‌کند. با توجه به اینکه ممکن است در آزمایشگاه، بارگذاری بر روی نمونه‌ی بدون پخ مشکل باشد، به همین دلیل ایجاد پخ در محل تکیه‌گاه و بارگذاری می‌تواند مشکل مذکور را حل کند. در مطالعه‌ی حاضر، طیف وسیعی از طول پخ با زاویه‌های مختلف  $\beta$  و ترک‌هایی با طول متفاوت ارزیابی شد و نتایج نشان داد که تحت بار فشاری یکنواخت در دیسک نیم‌دایره‌ی ترک دار با طول پخی متناظر با زاویه‌ی  $\beta = 2^\circ$ ، بهینه‌ترین ضریب شکل برابر  $1/325$  به دست آمد.

۲ درجه نسبت به مرکز در آزمایشگاه توصیه می‌شود. فرمول کلی مورد استفاده برای محاسبه‌ی شدت تنش مطابق رابطه‌ی ۸ است:

$$K_I = F\sigma\sqrt{\pi a} \quad (8)$$

که در آن،  $F$  ضریب شکل دیسک است و به شکل و هندسه‌ی نمونه بستگی دارد. با توجه به جدول ۳، ضریب  $F$  برای دیسک نیم‌دایره‌ی ترک دار تحت بار فشاری یکنواخت  $1/325$  تحت زاویه‌ی  $2^\circ$  به دست آمد و ضریب شدت تنش مود اول برای دیسک نیم‌دایره‌ی ترک دار با ضخامت ثابت طبق رابطه‌ی ۹ محاسبه می‌شود:

$$K_I^{ECS} = 1/325 \frac{P}{Rh} \sqrt{\pi a} \quad (9)$$

## پانوشت‌ها

1. stress intensity factor
2. metallic glass
3. perspex
4. zeroth order fringe (ZOF)
5. edge cracked semicircular disk

## منابع (References)

1. Dong, S., Wang, Y. and Xia, Y. "A finite element analysis for using Brazilian disk in split Hopkinson pressure bar to investigate dynamic fracture behavior of brittle polymer materials", *Polymer Testing*, **25**(7), pp. 943-952 (2006).
2. Zhu, X.-K. and Joyce, J.A. "Review of fracture toughness (G, K, J, CTOD, CTOA) testing and standardization", *Engineering Fracture Mechanics*, **85**, pp. 1-46 (2012).
3. Atkinson, C., Smelser, R. and Sanchez, J. "Combined mode fracture via the cracked Brazilian disk test", *International Journal of Fracture*, **18**(4), pp. 279-291 (1982).
4. Maigre, H. and Rittel, D. "Mixed-mode quantification for dynamic fracture initiation: Application to the compact compression specimen", *International Journal of Solids and Structures*, **30**(23), pp. 3233-3244 (1993).
5. Bui, H., Maigre, H. and Rittel, D. "A new approach to the experimental determination of the dynamic stress intensity factor", *International Journal of Solids and Structures*, **29**(23), pp. 2881-2895 (1992).
6. Wang, Q.-Z. and Xing, L. "Determination of fracture toughness  $K_{IC}$  by using the flattened Brazilian disk specimen for rocks", *Engineering fracture mechanics*, **64**(2), pp. 193-201 (1999).
7. Ayatollahi, M. and Aliha, M. "On determination of mode II fracture toughness using semi-circular bend specimen", *International Journal of Solids and Structures*, **43**(17), pp. 5217-5227 (2006).
8. Albinmousa, J., Merah, N. and Khan, S.M. "A model for calculating geometry factors for a mixed-mode I-II single edge notched tension specimen", *Engineering Fracture Mechanics*, **78**(18), pp. 3300-3307 (2011).
9. Dong, S. "Theoretical analysis of the effects of relative crack length and loading angle on the experimental results for cracked Brazilian disk testing", *Engineering Fracture Mechanics*, **75**(8), pp. 2575-2581 (2008).
10. Lim, I. and et al. "Fracture testing of a soft rock with semi-circular specimens under three-point bending: Part 1- mode I", *International Journal of Rock Mechanics and Mining Sciences & Geomechanics Abstracts*, Elsevier (1994).
11. Keles, C. and Tutluoglu, L. "Investigation of proper specimen geometry for mode I fracture toughness testing with flattened Brazilian disc method", *International Journal of Fracture*, **169**(1), pp. 61-75 (2011).
12. Simha, K. "Fracture mechanics for modern engineering design", Universities Press (2001).
13. Surendra, K. and Simha, K. "Design and analysis of novel compression fracture specimen with constant form

- factor: Edge cracked semicircular disk (ECSD)", *Engineering Fracture Mechanics*, **102**, pp. 235-248 (2013).
14. Elices, M., Perez-Guerrero, M., Lordachescu, M. and et al. "Fracture toughness of high-strength steel bars", *Engineering Fracture Mechanics*, **170**, pp. 119-129 (2017).
15. Noury, P. and Eriksson, K. "Determination of stress intensity factors for cracked bridge roller bearings using finite element analyses", *Engineering Fracture Mechanics*, **169**, pp. 67-73 (2017).
16. Gludovatz, B., Granata, D., Thurston, Keli, V.S. and et al. "On the understanding of the effects of sample size on the variability in fracture toughness of bulk metallic glasses", *Acta Materialia*, **126**, pp. 494-506 (2017).
17. Sanford, R.J. and Dally, J.W. "A general method for determining mixed-mode stress intensity factors from isochromatic fringe patterns", *Engineering Fracture Mechanics*, **11**(4), pp. 621-633 (1979).
18. Irwin, G.R. "Analysis of stresses and strains near the end of a crack traversing a plate", *Journal of Applied Mechanics*, **24**(3), pp. 361-364 (1957).